

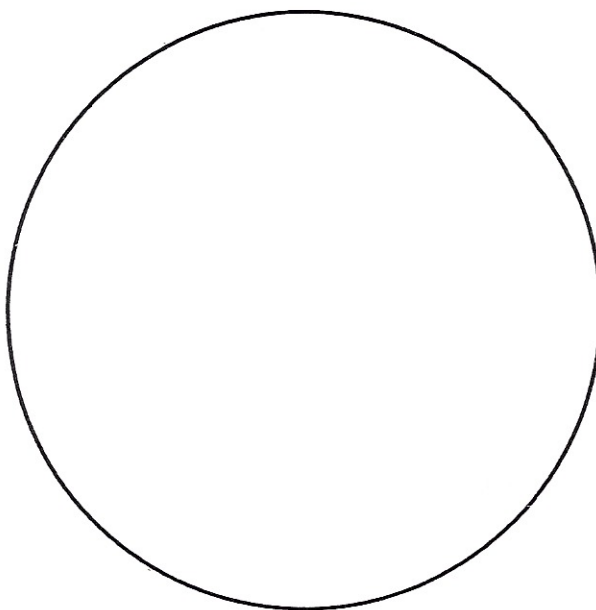
Q_v [l/s], v_v [m/s]

950,00 ‰ 1:1,05	
Q	v
28,2	5,60
51,3	6,53
93,2	7,59
152	8,58
327	10,4
591	12,0
959	13,6
1443	15,0
2054	16,3
2805	17,6
3705	18,9
4765	20,1
5994	21,2
8999	23,4
12791	25,4
17437	27,4
23002	29,3
29548	31,1
37133	32,8
45813	34,5
55645	36,1
66680	37,7
78971	39,3
92568	40,8
107519	42,3
123873	43,7
141576	45,1
160974	46,5
181812	47,8
204233	49,2
228280	50,5
253996	51,7
281422	53,0
341569	55,5
409038	57,9
484140	60,2
567177	62,5
658442	64,7
758221	66,9
866795	69,0
526	11,5
952	13,3
1543	14,9
2321	16,5
3303	18,0
5953	20,7
9626	23,3
14446	25,7
20525	27,9
27973	30,1
36891	32,1
47378	34,1
59528	36,0
73431	37,8
89174	39,6
106844	41,3
126520	43,0
148285	44,7
172215	46,3
226877	49,4
8727	22,9
15703	26,4
25362	29,6
38022	32,6
53979	35,5
73513	38,2
96891	40,7
156182	45,6
233770	50,2
331439	54,4

4 Verschiedene Tafeln und Bilder

4.1 Teilfüllungswerte

4.1.1 Kreisquerschnitte



$\frac{h_d}{h}$

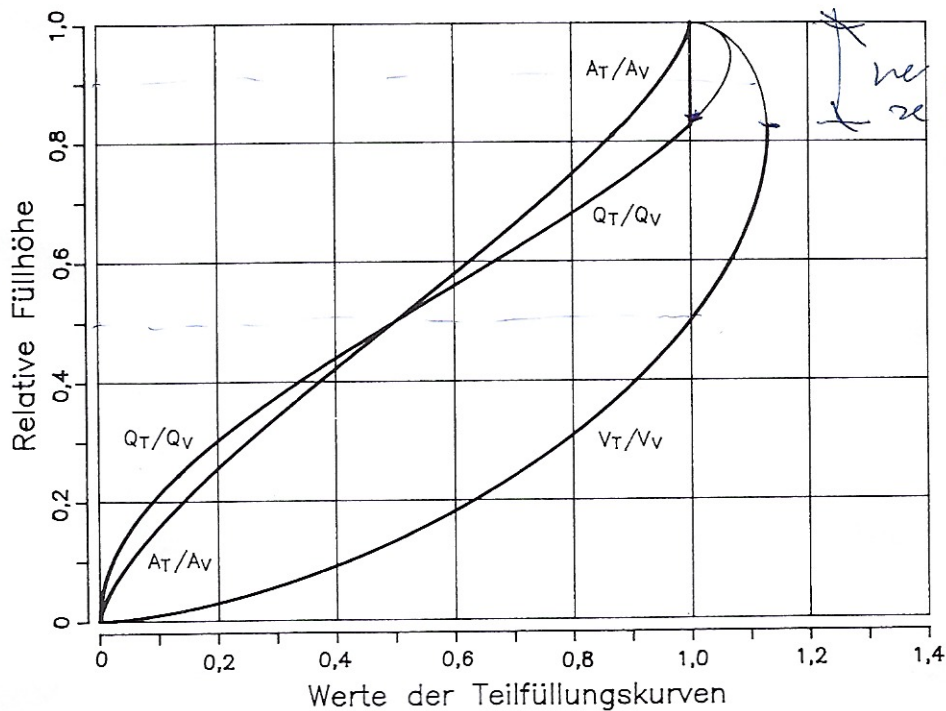


Bild 4.1: Kreisquerschnitt (Nr. 1) und zugehörige Teilfüllungskurven

0,82 ---